

清华笔记：计算共形几何讲义 (22) 离散曲面曲率流 (Discrete Surface Ricci Flow) IV

顾险峰 老顾谈几何 2017-08-18



设计黎曼度量又是计算机图形学、计算机视觉、计算力学、医学图像等领域最为基本的问题之一。许多工程中的关键问题可以归结为设计一种特殊的黎曼度量。离散曲面Ricci流是通过曲率来设计黎曼度量的有力武器。迄今为止，这是唯一的一种方法，既有严密的理论基础，又有高效稳定的算法。

在前述章节中，我们证明了离散曲面曲率流解的存在性、唯一性，其对应熵能量的凸性及其几何解释。这一讲，我们来证明离散曲率流所得到的离散共形变换收敛到光滑Ricci flow的结果。因为离散曲率流方法完全独立于传统的有限元分析方法，因此其收敛性证明的方法也必然是迥异的。通过冗长而严密地推导，我们给出了精确的逼近结果。

收敛性定理陈述

这里，我们首先解释主要的收敛性结果。

定义 (δ -三角剖分) 给定一个紧的多面体曲面 (Polyhedral Surface) (S, V, d) , 三角剖分 T 是一个 δ -三角剖分, $\delta > 0$, 如果每个面上所有的内角都在区间 $(\delta, \pi/2 - \delta)$ 中。

定义 (δ -三角剖分) 给定一个紧的三角剖分的多面体曲面 (Triangulated Polyhedral Surface) (S, T, l^*) , (T, l^*) 的一个 (Geometric Subdivision Sequence) 几何细分系列 (T_n, l_n^*) 是 (δ, c) 细分系列, 这里 $\delta > 0$, $c > 0$ 为正常数, 如果每个 (T_n, l_n^*) 都是 δ -三角剖分, 并且边长满足

$$l_n^*(e) \in \left(\frac{1}{cn}, \frac{c}{n}\right), \quad \forall e \in E(T_n).$$

如上定义中, 多面体曲面可以被替换成一般的带有黎曼度量曲面, 三角剖分可以被替代成测地三角剖分, 由此得到所谓的 (δ, c) 测地细分系列。

定理1 (离散曲率流收敛性定理) 给定带有黎曼度量的曲边三角形 (S, g) , 在三个角点处的内角为 $\pi/3$, 给定一个 (δ, c) 测地细分系列 (T_n, L_n) , 对于任意边 $e \in E(T_n)$, $L_n(e)$ 为度量 g 下的测地长度。那么存在离散共形因子 $w_n \in \mathbb{R}^{V(T_n)}$, 对于足够大的 n , 令

$$C_n = (S, T_n, w_n * L_n)$$

满足

- C_n 和平面等边三角形 Δ 等距, 同时 C_n 是 $\delta_S/2$ -三角剖分,
- 离散单值化映射 $\varphi_n : (S, g) \rightarrow C_n$ 一致收敛到光滑单值化映射 $\varphi : (S, g) \rightarrow (\Delta, dzd\bar{z})$, 使得

$$\lim_{n \rightarrow \infty} \|\varphi_n|_{V(T_n)} - \varphi|_{V(T_n)}\|_{\infty} = 0.$$

主要技术定理

我们证明过程中的主要工具是如下的定理，这些工具性定理的证明细节可以在【1】找到，这里我们直接给出结论。

定理2 给定一个紧的三角剖分的多面体曲面 (S, T, l^*) , (S, T_n, l_n^*) 是它的一个 (δ, c) 几何细分系列； (S, T_n, l_n) 是另外一系列多面体度量，满足不等式条件：

$$|l_n(e) - l_n^*(e)| \leq \frac{c_0}{n^3},$$

这里 $c_0 > 0$ 是一个正常数，那么存在常数 $c_1 = c_1(l^*, \delta, c, c_0)$ ，和离散共形因子 $\nu_n \in \mathbb{R}^{V(T_n)}$ ，对于足够大的 n ，

1. $(T_n, \nu_n * l_n)$ 是 $\delta/2$ -三角剖分。
2. $K_{\nu_n * l_n} = K_{l_n^*}$
3. 离散共形因子

$$\|\nu_n\|_\infty \leq \frac{c_1(l^*, \delta, c, c_0)}{\sqrt{n}}$$

并且我们有估计

$$|l_n^*(e) - \nu_n * l_n(e)| \leq \frac{c_2(l^*, \delta, c, c_0)}{n\sqrt{n}}, \quad \forall e \in E(T_n).$$

引理. 假设 (S, \mathbf{g}_1) 是一个 C^2 光滑的紧度量曲面，其边界 ∂S 可能非空并且带有角点， $\mathbf{g}_2 = e^{2\mu} \mathbf{g}_1$ 是另外一个黎曼度量，和初始度量共形等价，这里共形因子 $\mu \in C^2(S)$ 为二阶光滑函数，那么存在常数 $c = c(S, \mathbf{g}_1, \mu)$ ，使得对于任意连接两点 p 和 q 的测地线段 γ ，或者 γ 为光滑边界曲线段， $\gamma \subset \partial S$ ，我们有估计

$$|l_{\mathbf{g}_2}(\gamma) - e^{\frac{\mu(p)+\mu(q)}{2}} l_{\mathbf{g}_1}(\gamma)| \leq c(S, \mathbf{g}_1, \mu) l_{\mathbf{g}_1}^3(\gamma).$$

证明框架

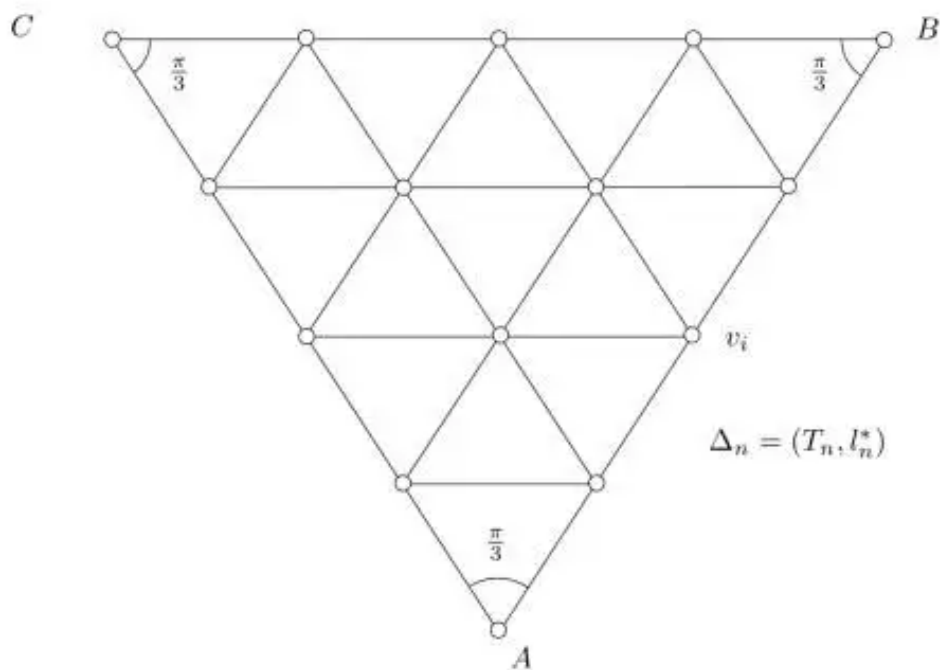


图1. 平面等边三角形。

图1显示了经典的平面等边三角形， ΔABC 。每条边的长度为1，每个内角为 $\pi/3$ 。一次细分操作（subdivision operator）加入每条边的中点，然后连接这些中点，将每个三角形分成4个三角形。第 n 次细分操作之后，所得的离散曲面记为 Δ_n ，其三角剖分记为 T_n ，其PL度量由平面欧氏度量 $dzd\bar{z}$ 所诱导，表示成边长函数 l_n^* 。我们用 $\Delta_n = (\Delta, T_n, l_n^*)$ 来表示这一离散曲面。

显然， Δ_n 是一个 (δ, c) 细分系列，这里 $(\delta_\Delta, c_\Delta) = (\pi/6 - \varepsilon, 1 - \varepsilon)$ ， $\varepsilon > 0$ 是任意小的正数。

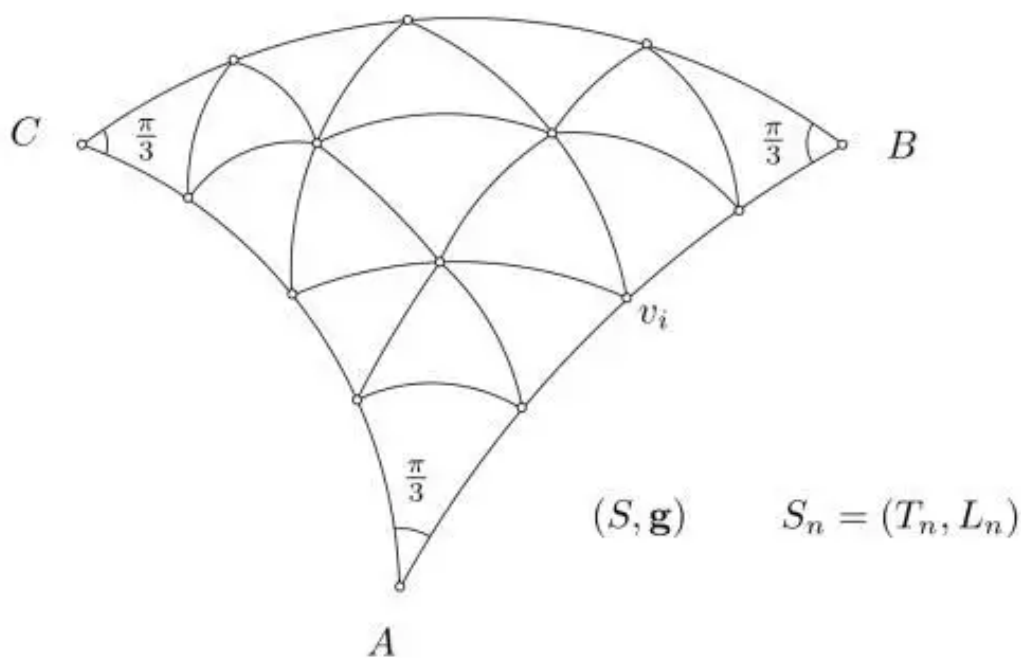


图2. 光滑曲面。

图2显示了一个带有黎曼度量的 C^2 光滑曲面 (S, \mathbf{g}) ，有三个角点（corner points） A, B, C ，其边界是连接角点的三条光滑曲线， $\partial S = \gamma_0 + \gamma_1 + \gamma_2$ ；在任意角点处，两条光滑边界曲线的交角是 $\pi/3$ 。

根据黎曼映照定理，存在共形映射 $\varphi: (S, \mathbf{g}) \rightarrow \Delta$ ，将角点映成角点，边界曲线映成边界曲线。因为曲面 (S, \mathbf{g}) 为紧曲面，对应角点处的角度相同，所以映射诱导的共形因子函数 $\mu: S \rightarrow \mathbb{R}$ 光滑有界，

$$\mathbf{g} = e^{-4\mu} dz d\bar{z}.$$

同时映射 φ 将 Δ_n 的三角剖分 T_n 拉回到光滑曲面上。我们在 S 上将 $\varphi^{-1}(\Delta_n)$ 的每条边都用测地线段来代替，顶点保留，于是得到光滑曲面的一个测地三角剖分，记为 $S_n = (S, \mathbf{g}, T_n, L_n)$ ，这里 L_n 是三角剖分 T_n 的测地边长。

因为 φ 为共形映射，共形因子 $\mu: S \rightarrow \mathbb{R}$ 一致连续，当 n 足够大的时候，在 T_n 的每个三角形面上，共形因子几乎为常数，三角形的测地边长几乎相等。 S_n 是曲面 (S, \mathbf{g}) 的一个 (δ, c) 测地细分系列。对于任意的正数 $\varepsilon > 0$ ，存在 $N(\varepsilon) \in \mathbb{N}$ ，当 $n > N(\varepsilon)$ 时， $(\delta_{S_n}, c_{S_n}) = (\pi/6 - \varepsilon, 1 - \varepsilon)$ 。

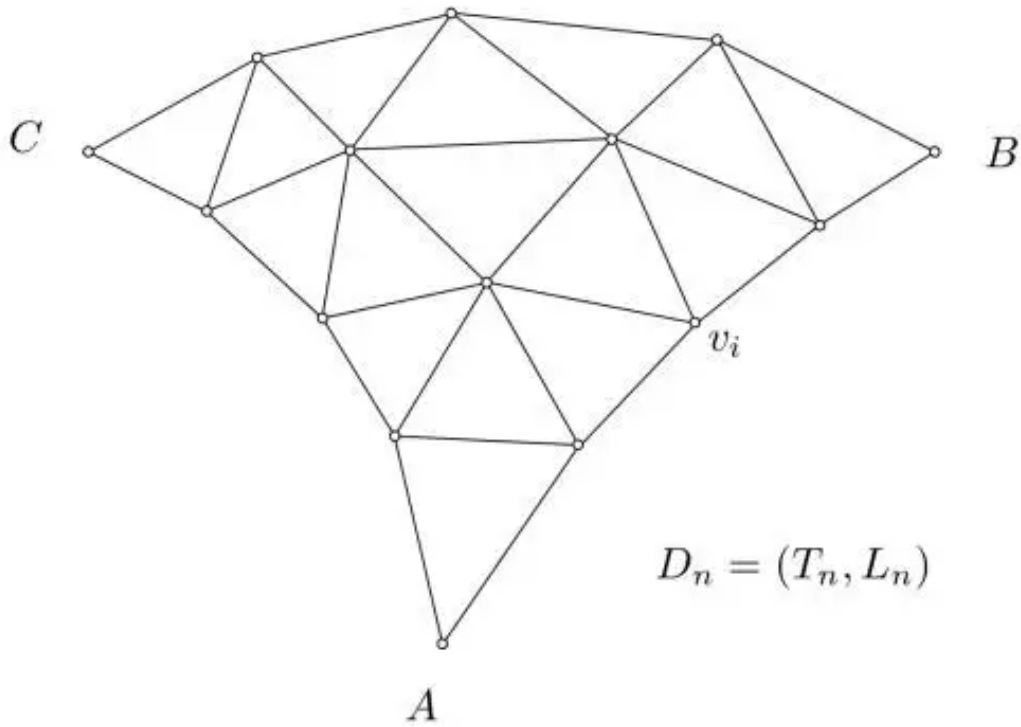


图3. 离散化。

图3显示了将光滑曲面离散化。我们将抽象的离散曲面 $S_n = (T_n, L_n)$ 转换成PL曲面 $D_n = (T_n, L_n)$ 。对于任何一个面 $t \in T_n$ ，带有三个边 e_i, e_j, e_k ，我们以 $\{L_n(e_i), L_n(e_j), L_n(e_k)\}$ 为边长构造一个欧氏三角形，然后将这些欧氏三角形沿着公共边等距地粘贴起来，得到一个具有PL度量的离散曲面， $D_n = (T_n, L_n)$ 。

根据几何逼近论， (D_n, L_n) 的度量（包括Laplace-Beltrami 算子）收敛到光滑曲面 (S, g) 的度量。因为共形因子 $\mu : S \rightarrow \mathbb{R}$ 一致连续，当 n 足够大的时候，在 D_n 的每个三角形面几乎为等边三角形。 (D_n, L_n) 为 (δ, c) 细分系列，这里常数 c 是曲面黎曼度量和共形因子的函数 $c(S, g, \mu)$ 。

我们计划构造离散共形映射 $\varphi_n : (D_n, L_n) \rightarrow (\Delta, l_n^*)$ ，然证明在某种模（norm）下，离散共形映射收敛到光滑黎曼映照， $\lim_{n \rightarrow \infty} \varphi_n = \varphi$ 。

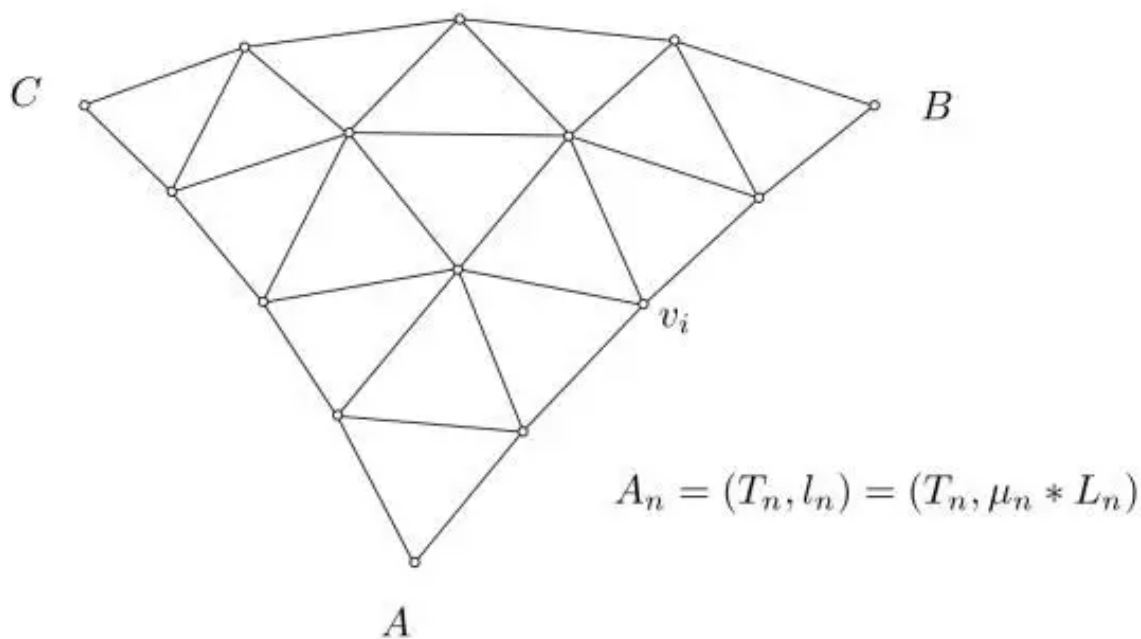


图4. 逼近。

图4显示了对黎曼映照的初步逼近。光滑黎曼映射 $\varphi : (S, \mathbf{g}) \rightarrow \Delta$ 诱导的共形因子为 $\mu : S \rightarrow \mathbb{R}_{>0}$,

$$dzd\bar{z} = e^{4\mu} \mathbf{g}_0.$$

我们定义其对应的离散共形因子 $\mu_n : V(T_n) \rightarrow \mathbb{R}_{>0}$, 对一切顶点 $v_i \in T_n$,

$$\mu_n(v_i) = \mu(\varphi^{-1}(v_i)),$$

这里 $v_i \in \Delta_n$, $\varphi^{-1} : \Delta_n \rightarrow S$ 。

我们用离散曲面 $D_n = (T_n, L_n)$ 来逼近光滑曲面 (S, \mathbf{g}) , 离散度量 L_n 来逼近光滑度量 \mathbf{g} , 离散共形因子 μ_n 来逼近光滑共形因子 μ , 用顶点缩放来逼近共形变换,

$$\mu_n * L_n \sim l_n^*,$$

这里平直度量

$$l_n^* = \int_e |dz| = \int_e \mu^2 ds.$$

由此, 得到离散曲面 $A_n = (T_n, \mu_n * L_n)$, 用于逼近平面等边三角形 Δ_n 。

由引理1, 我们得到如下估计: 存在常数 $c_1 = c_1(\mathbf{g}, \delta_S, c_S, \mathbf{g}^*)$, 这里平直度量 $\mathbf{g}^* = dzd\bar{z}$, 对于一切边 $e \in \mathcal{T}_n$,

$$|l_n^*(e) - l_n(e)| = |l_n^*(e) - \mu_n * L_n(e)| \leq \frac{c_1}{n^3}.$$

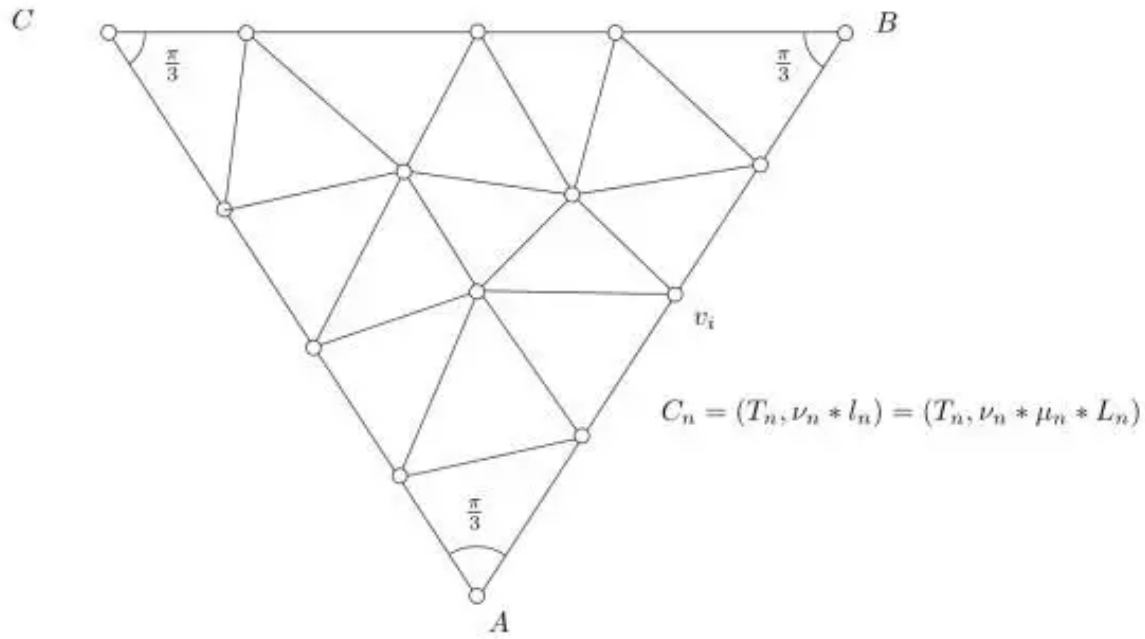


图5. 补偿化。

我们最后对初步逼近得到的离散度量 $A_n = (T_n, \mu_n * L_n)$ 进一步补偿。由定理2, 我们得到存在离散共形因子 $\nu_n : V(T_n) \rightarrow \mathbb{R}_{>0}$, 使得

1. $C_n = (T_n, \nu_n * (\mu_n * L_n))$ 是 $\delta_S/2$ -三角剖分,
2. $K_{\nu * l_n} = K_{l_n^*}$, 这意味着 $C_n = \Delta$ 成为平面等边三角形,
3. 共形因子的 L^∞ 模

$$\|\nu_n\|_\infty \leq \frac{c_2(\mathbf{g}^*, \delta_S, c_1, c_S)}{\sqrt{n}},$$

4. 对于一切边 $e \in E(T_n)$

$$|l_n^*(e) - \nu_n * l_n(e)| \leq \frac{c_3(\mathbf{g}^*, \delta_S, c_1, c_S)}{n\sqrt{n}}.$$

我们来证明主要定理1: 由 C_n 是 $\delta_S/2$ -三角剖分, 我们证明了主定理结论中的 (a)。我们构造分片线性映射

$$\psi_n = \varphi \circ \varphi_n^{-1} : C_n \rightarrow \Delta_n,$$

因为 C_n 和 Δ_n 都是等边三角形，通过反射，我们将映射 ψ_n 拓展成复平面到自身的映射， $\tilde{\psi}_n : \mathbb{C} \rightarrow \mathbb{C}$ 。由 C_n 是 $\delta_S/2$ -三角剖分，我们得到存在一个大于1的正数 $K > 1$ ， $\tilde{\psi}_n$ 是 K -拟共形映射。我们得到复平面到自身的 K -拟共形映射族 $\{\tilde{\psi}_n\}$ ，由拟共形映射族的紧性，存在收敛子列 $\{\tilde{\psi}_{n_k}\}$ ，

$$\lim_{k \rightarrow \infty} \tilde{\psi}_{n_k} = \tilde{\psi}。$$

令 $w_n = \nu_n + \mu_n$ ，由4我们得到

$$\lim_{k \rightarrow \infty} \frac{l_n^*(e)}{w_n * L_n(e)} = 1，$$

因此极限 K -拟共形映射 $\tilde{\varphi}$ 的伸缩商 $K = 1$ ，即 $\tilde{\psi}$ 是共形映射。同时 $\tilde{\psi}$ 将 C_n 的三个角点映到 Δ_n 的三个角点，因此 $\tilde{\psi}$ 是复平面到自身的恒同映射。由此，我们证明了主定理结论中的(b)。

总结

综上所述，我们的整体证明思路是：

$$(S_k, L_n) \xrightarrow{\alpha_n} (D_n, L_n) \xrightarrow{\beta_n} (A_n, \mu_n * L_n) \xrightarrow{\gamma_n} (C_n, \nu_n * \mu_n * L_n) \xrightarrow{\psi_n} \Delta_n$$

这里映射 α_n 是用测地距离来离散化光滑曲面； β_n 是光滑共形因子来直接逼近单值化映射； γ_n 是进一步补偿离散带来的误差； $\psi_n = \phi \circ \phi_n^{-1}$ 是离散单值化映射和光滑单值化映射的差距。拟共形映射 ψ_n 的Beltrami系数的模小于 C/\sqrt{n} ，这给出了逼近阶。这一方法可以推广到拓扑复杂的曲面情形。

近二十年来，在工程领域，学者们发明了大量的计算共形映射的算法。真正给出收敛性证明和逼近阶估计的工作却极其稀少。依随这一领域的日益成熟，我们期待看到更多有关算法收敛性的严格证明。

Reference

- X. Gu, F. Luo and T. Wu, Convergence of Discrete Conformal Geometry and Computation of Uniformization Maps, Asian Journal of Mathematics, 2017.

请长按下方二维码，选择“识别图中二维码”，即可关注。



【老顾谈几何】邀请国内国际著名纯粹数学家，应用数学家，理论物理学家和计算机科学家，讲授现代拓扑和几何的理论，算法和应用。

回复“**目录**”，可以浏览往期精华；回复“**智商**”，可以阅读“**如何从大脑形状判断一个人的智商**”；回复“**象牙塔**”，可以阅读“**纯粹数学走出象牙塔**”；回复“**概览**”，可以阅读“**计算共形几何概览**”。